

УДК 535.551

МАГНИТООПТИЧЕСКИЙ ЭФФЕКТ ФРАНЦА—КЕЛДЫША В ПОЛЕ СИЛЬНОЙ БИХРОМАТИЧЕСКОЙ СВЕТОВОЙ ВОЛНЫ

Б. С. Монозон

Рассмотрено межзонное поглощение одной из компонент, частота которой ω_1 , сильной бихроматической световой волны в полупроводнике в присутствии внешних однородных стационарных электрического и магнитного полей. Изложена общая методика расчета мощности поглощаемого излучения $P(\omega_1)$. Получены аналитические результаты для случая параллельной ориентации электрических полей волн, а также стационарных полей. Считается, что расстройка частот волн $\omega_1 - \omega_0$ существенно превышает некоторую характерную частоту $e^2 F_0 F_1 (2\mu\hbar\omega_0\omega_1)^{-1} \ll \omega_0, \omega_1$, определяемую частотами и амплитудами $F_{0,1}$ электрических световых полей вместе с приведенной эффективной массой электронов и дырок μ . Исследована зависимость поглощаемой мощности от характеристик волн, чисел фотонов, участвующих в поглощении, напряженностей однородных электрического и магнитного полей и от зонных параметров полупроводника. Показано, что для данной области расстроек частот основное влияние однородного электрического поля заключается в коротковолновом смещении пиков нечетно-фотонных магнитопереходов, их размытии и длинноволновом смещении края вследствие межзонального туннелирования (эффект Франца—Келдыша).

Оптические явления в полупроводниках, обусловленные воздействием на них сильной немонохроматической световой волны, продолжают оставаться предметом теоретического изучения. В настоящей работе рассматривается межзональное дипольное многофотонное поглощение интенсивной световой волны, электрическое поле которой характеризуется амплитудой F_1 и частотой ω_1 . Поглащающая система представляет собой широкозонный полупроводник, находящийся в поле другой сильной световой волны с электрическим вектором $F_0 \cos \omega_0 t$, а также во внешних однородных продольных электрическом E и магнитном H полях ($F_0 \parallel F_1 \parallel E \parallel H$). Получено аналитическое выражение для поглощаемой мощности $P(\omega_1)$, содержащее явные зависимости от характеристик световых волн, напряженностей стационарных полей и электронных параметров полупроводника. В рассматриваемой области расстроек частот $\Omega = \omega_1 - \omega_0$ основное влияние электрического поля E заключается в коротковолновом смещении пиков нечетно-фотонных магнитопереходов и их размытии вследствие эффекта Франца—Келдыша [1, 2].

Измеряемая в эксперименте пространственная плотность поглощаемой мощности P световой волны с электрическим полем $F_1(t)$ вычисляется путем усреднения по времени правой части выражения

$$P = \text{Sp} (\rho \hat{F}), \quad (1)$$

в котором $P = e \rho \hat{F}_1$ — оператор мощности, ρ — матрица плотности электронной подсистемы полупроводника в полном электрическом поле $F(t)$ обеих световых волн, а также в стационарных электрическом E и магнитном H полях.

В случае чистого состояния и данного вида оператора P потребуется найти $\rho = |\Psi|^2$. Волновая функция Ψ , согласно методу эффективной массы [3], представляется в виде

$$\Psi(r, t) = u_h(r) f_h(r, t) + a_{eh}(t) u_e(r) f_e(r, t), \quad (2)$$

где $u_{e,h}$ — блоховские амплитуды в экстремумах электронной (e) и дырочной (h) зон, разделенных энергетическим промежутком \mathcal{E}_g ; $f_{e,h}$ — модулирующие внутризонные функции; a_{eh} — коэффициент межзонного оптического перехода, вызываемого полным нестационарным полем $\mathbf{F}(t)$.

Дальнейшие выкладки удобно продолжить, опираясь на двухчастичный подход [4, 5], с точки зрения которого оптический дипольный переход происходит из основного состояния кристалла с волновой функцией $\delta(\mathbf{r})$ в возбужденное с образованием электрон-дырочной пары, характеризуемое функцией $\Phi(\mathbf{r}, t) \sim f_e f_h^*$ (\mathbf{r} — относительная координата электрона и дырки). Тогда выражение (1) примет вид

$$P = e \overline{\dot{\mathbf{F}}_1(t) [\mathbf{r}_{eh} a_{eh}(t) \Phi(0, t) + \text{к. с.}]}, \quad (3)$$

где

$$a_{eh}(t) = \frac{1}{i\hbar} \int_0^t d\tau e \mathbf{F}(\tau) \mathbf{r}_{eh} \Phi^*(0, \tau),$$

$$\mathbf{r}_{eh} = \langle u_e | \mathbf{r} | u_h \rangle = \frac{i\hbar}{m_e \mathcal{E}_g} \mathbf{p}_{eh}, \quad (4)$$

m_e — масса свободного электрона, \mathbf{p}_{eh} — межзональный матричный элемент оператора импульса.

Как показано в работе [6], наиболее заметно взаимодействие волн проявляется при их одинаковой поляризации, определяемой общим единичным вектором ζ , так что в дальнейшем будем считать

$$\mathbf{F}_1(t) = \zeta F_1 \cos \omega_1 t, \quad \mathbf{F}(t) = \zeta (F_0 \cos \omega_0 t + F_1 \cos \omega_1 t).$$

В используемой нами простой модели электронная и дырочная зоны считаются орбитально невырожденными, параболическими, характеризующимися эффективными массами m_e и m_h и разделенными широкой запрещенной зоной $\mathcal{E}_g \gg eFr_{eh}$. Последнее неравенство позволяет находить коэффициент a_{eh} (4) в первом порядке по параметру eFr_{eh}/\mathcal{E}_g . Функция Φ в такой модели есть волновая функция относительного движения электрон-дырочной пары с обратной эффективной массой $\mu^{-1} = m_e^{-1} + m_h^{-1}$ во внешних электрическом $\mathbf{E} + \mathbf{F}(t)$ и магнитном \mathbf{H} полях. Она может быть представлена в обобщенном квазиэнергетическом виде [6], содержащем произведение $\exp(-i/\hbar \cdot \mathcal{E}t)$ (\mathcal{E} — квазиэнергия) и четырех функций, периодичность во времени которых определяется соответственно частотами ω_1 , ω_0 и $\omega_1 \pm \omega_0$. Разлагая каждую из них в ряд Фурье, можно выполнить интегрирование в формуле (4) и вслед за этим вычислить мощность P (3).

Поскольку указанная процедура расчета подробно описана в работе [6], ограничимся лишь изложением некоторых замечаний и окончательных результатов. В связи с тем что полное электрическое поле $\mathbf{F}(t)$ содержит две компоненты, коэффициент a_{eh} (4) будет также содержать два слагаемых вида

$$a_{eh} \sim \sum_{s, s'} \delta(\mathcal{E} - sh\omega_0 - s'h\omega_1) (F_1^s G_{1s'}^{(s)} + F_0 G_{0s'}^{(s)}),$$

где $G_{1,0,s,s'}^{(s)}$ — суммы произведений коэффициентов Фурье, возникающих при разложении функций, входящих в Φ . Окончательное выражение для P (3) приведем в отвечающем эксперименту многофотонном пределе [7]

$$\gamma_j^2 = 2\mu s_j \hbar \omega_j^3 / e^2 F_j^2 \gg 1, \quad s_0 \equiv s \gg 1, \quad s_1 \equiv s' \gg 1, \quad j = 0, 1,$$

означающем значительное превышение частоты ω_j над частотой межзонального туннелирования в поле F_j . Получим

$$P = \hbar \omega_1 W, \quad W = \sum_{s'} W_{s'}, \quad W_{s'} = \sum_s W_{s'}^{(s)},$$

где W — пространственная плотность вероятности межзонного перехода в единицу времени, $W_{s'}$ — вероятность поглощения s' фотонов частоты ω_1 , а $W_{s'}^{(s)}$ имеет смысл вероятности такого поглощения при участии s фотонов частоты ω_0 . Для $W_{s'}^{(s)}$ получим

$$W_{s'}^{(s)} = \frac{|\mathbf{r}_{\text{eff}}|^2 e^2 F_1^2}{2\pi\hbar} 2\pi\hbar \sum \delta(\mathcal{E} - s\hbar\omega_0 - s'\hbar\omega_1) \left[\left(|G_{1s'}^{(s)}|^2 + \frac{F_0}{F_1} G_{0s'}^{(s)} G_{1s'}^{(s)*} \right) + \text{к. с.} \right]. \quad (5)$$

Выражения для коэффициентов $G_{1s'}^{(s)}$ при отсутствии стационарных полей ($E=H=0$) содержатся в работе [6], а методика их нахождения в электрическом E и магнитном H полях изложена соответственно в работах [8, 9]. Коэффициент $G_{0s'}^{(s)}$ может быть получен из $G_{1s'}^{(s)}$ путем замены в последнем $s \Rightarrow s'$, $\omega_0 \Rightarrow \omega_1$, $F_0 \Rightarrow F_1$. В формуле (5) предполагается суммирование по конечным состояниям, удовлетворяющим закону сохранения энергии в системе электрон—полное световое излучение.

Следуя [6], напомним, что аналитические выражения могут быть получены лишь для определенных соотношений между расстройкой частот $\Omega = \omega_1 - \omega_0$ и характерной частотой $\Omega_R = e^2 F_0 F_1 (2\mu\hbar\omega_0\omega_1)^{-1} \ll \omega_0, \omega_1$. Ниже рассматривается случай $\Omega \gg \Omega_R$, для которого процедура построения $G_{0s'}^{(s)}$ дает $G_{0s'}^{(s)} = \gamma_0 \gamma_1^{-1} G_{1s'}^{(s)}$.

Перейдем к расчету поглощаемой мощности компоненты бигармонической волны в продольных однородных электрическом и магнитном полях ($\zeta \parallel H \parallel E$). При ориентации всех полей параллельно оси z функция Φ представляется в виде

$$\Phi(\mathbf{r}, t) = \exp\left(-\frac{i}{\hbar} \mathcal{E}_\perp t\right) \chi_\perp(\varphi) f_\parallel(z, t). \quad (6)$$

Здесь \mathcal{E}_\perp , χ_\perp — энергия и функция стационарного состояния электрона и дырки в плоскости, перпендикулярной магнитному полю; функция f_\parallel описывает электрон-дырочную пару в полном электрическом поле $E + F_0 \cos \omega_0 t + F_1 \cos \omega_1 t$. Необходимое для вычисления коэффициента a_{sh} (4) значение $\Phi(0, t)$ (6) может быть получено из явных выражений для функций f_\parallel и χ_\perp , приведенных, например, соответственно в работах [8, 10]. Это дает

$$\begin{aligned} f_\parallel(0, t) &= \frac{1}{2\pi(eE)^{1/2}} \int_{-\infty}^{+\infty} dp \exp \left\{ -i\varphi_\mathcal{E}(p) - \frac{i}{\hbar} \int_0^t d\tau \times \right. \\ &\quad \times \left. \left[\mathcal{E} + \frac{\hbar^2}{2\mu} (\mathcal{K}^2(\tau) - p^2 - \mathcal{P}^2(\tau)) \right] \right\}, \\ \varphi_\mathcal{E}(p) &= (eE)^{-1} \left\{ \frac{\hbar^2}{6\mu} p^3 - \left[\mathcal{E} - \frac{\hbar^2}{2\mu} \mathcal{P}^2(0) \right] p \right\}, \\ \mathcal{K}(t) &= p + \frac{e}{\hbar} \left(\frac{F_0}{\omega_0} \sin \omega_0 t + \frac{F_1}{\omega_1} \sin \omega_1 t \right), \\ \mathcal{P}^2(t) &= \frac{e^2}{2\hbar^2} \left[\frac{F_0^2}{\omega_0^2} + \frac{F_1^2}{\omega_1^2} - 4E \left(\frac{F_0^2}{\omega_0^2} \cos \omega_0 t + \frac{F_1^2}{\omega_1^2} \cos \omega_1 t \right) \right], \end{aligned} \quad (7)$$

$$\chi_\perp(0) = 1/\sqrt{2\pi} a_H, \quad a_H = (\hbar c/eH)^{1/2}. \quad (8)$$

Присутствующая в формуле (6) энергия \mathcal{E}_\perp равна

$$\mathcal{E}_{\perp N} = \mathcal{E}_g + \frac{\hbar e H}{\mu c} \left(N + \frac{1}{2} \right) \pm (\beta_e \pm \beta_h) H, \quad N = 0, 1, 2, \dots \quad (9)$$

β_{eh} — эффективные магнитные моменты носителей.

В процессе вычисления коэффициентов $G_{1s'}^{(s)}$, исходя из функций (6)–(8), становится ясно, что влияние однородного электрического поля E определяется параметрами $E/F_j \gamma_j^{-1}$; $j=0, 1$. В многофотонном пределе $\gamma_j \gg 1$.

и в рассматриваемом ниже случае $E/F_j \gamma_j^{-1} \ll 1$ действия переменных F_j и постоянного E полей могут быть условно разделены: световые поля F_j определяют силы осцилляторов переходов, а поле E — плотность состояний. Выполнив в формуле (5) интегрирование по ξ и суммирование по N , придем к окончательному выражению для вероятности $W_{s'}^{(s)}$

$$W_{s'}^{(s)}(\omega_1) \sim \frac{|P_{ehz}|^2 (\hbar\omega_1)^3 \mu}{4\pi^3 m_0^2 \xi_g^3 \hbar} \left(\frac{2\mu}{\hbar^2}\right)^{3/2} \frac{\hbar^2}{\mu a_H^2 (\xi_g \xi_0)^{1/2}} \times \\ \times (4\gamma_0^2)^{-s} (4\gamma_1)^{-s'} \sum_N \left[4f'^2 \frac{\xi_0}{\xi_g} \text{Ai}'^2(\Delta_N) \cos^2(s+s') \frac{\pi}{2} + \right. \\ \left. + f^2 \text{Ai}^2(\Delta_N) \sin^2(s+s') \frac{\pi}{2} \right] \left[1 + \left(\frac{s\omega_0^3}{s'\omega_1^3}\right)^{1/2} \right], \quad (10)$$

$$\Delta_N = \xi_g^{-1} \left[\xi_g + \xi_{\perp N} + \frac{e^2}{4\mu} \left(\frac{F_0^2}{\omega_0^2} + \frac{F_1^2}{\omega_1^2} \right) - s\hbar\omega_0 - s'\hbar\omega_1 \right],$$

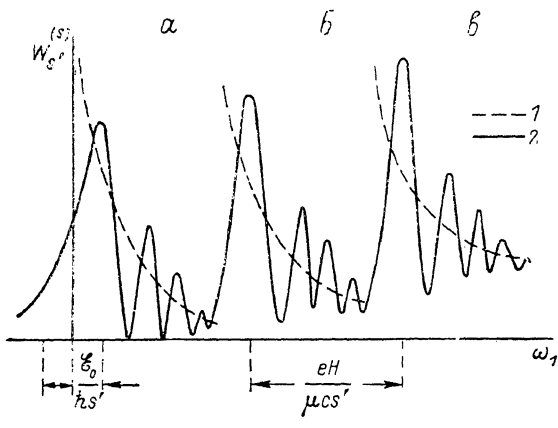
$\xi_0 = (\hbar^2 e^2 E^2 / 2\mu)^{1/3}$; Ai, Ai' — соответственно функция Эйри и ее производная [11]; $f(s, s')$, $f'(s, s')$ — некоторые коэффициенты (см. формулу (11) работы [6]). Для исследуемых нами широкозонных полупроводников $\hbar^2/\mu a_H^2 \ll \xi_g$, $\xi_0 \ll \xi_g$, $\xi_0 \Delta_N \ll \xi_g$.

Формула (10) справедлива с точностью до коэффициента, зависящего только от чисел фотонов s и s' . Правильное его знание требует использования корневого закона дисперсии энергетических зон [7, 12], допускающего проникновение в зоны на величину энергии порядка E_g , что делает некоторые математические выкладки значительно более громоздкими. В выбранной нами здесь простой модели зоны характеризовались параболической зависимостью квазимпульса, применимой в окрестности их экстремумов. Поскольку мы ограничиваемся именно этой областью вблизи края ($\xi_0 \Delta_N < \xi_g$), то частотная зависимость вероятности $W_{s'}^{(s)}$ (10), описываемая функциями Ai и Ai' , оказывается верной. Численный же коэффициент при этом отличается от коэффициента, определяемого корневым законом, хотя их зависимости от чисел s и s' в качественном отношении близки.

Заметим, что вероятность $W_{s'}^{(s)}$ (10), вычисленная с использованием матрицы плотности, отличается от вероятности, определяемой как $W = t^{-1} |a(t)|^2$, $(F(t) \equiv F_1(t))$, множителем $[1 + (s\omega_0^3)^{1/2} (s'\omega_1^3)^{-1/2}]$. Однако если учесть, что в полном спектре многофотонного ($s' \gg 1$) поглощения наиболее интенсивной серией является серия с $s=1$, отличие этого множителя от единицы в довольно широкой области частот $\omega_0 \leq \omega_1$ оказывается несущественным. Общая формула (10) позволяет установить границы применимости результатов работы [3], в которой рассмотрено однофотонное поглощение ($s'=1$) слабой световой волны в присутствии сильной ($F_1 \ll F_0$). Частоты должны удовлетворять условию $\omega_0 \ll \omega_1$.

Перейдем к обсуждению окончательного результата $W_{s'}^{(s)}$ (10). Зависимость поглощения от интенсивностей волн $\sim F_j^2 \sim \gamma_j^{-2}$ такая же, как и в отсутствие однородного электрического поля, т. е. $W_{s'}^{(s)} \sim F_1^{2s} F_0^{2s'}$. Основное влияние поля E состоит в изменении частотной зависимости $W_{s'}^{(s)}(\omega_1)$. При $E=0$ переходы с нечетным полным числом фотонов $s+s'$ содержали особенности $\sim \Delta_N^{-1/2}$, а с четным числом фотонов $s+s'$ ступенчатые зависимости вблизи экстремумов подзон Ландау, определяемых условием $\Delta_N=0$. Остановимся более подробно на нечетно-фотонных переходах (см. рисунок). В однородном электрическом поле E вследствие эффекта Франца—Кельдыша особенность превращается в основной пик конечной интенсивности. Этот пик смещается в коротковолновую сторону, а край поглощения — в длинноволновую сторону на одинаковые расстояния $\xi_0/\hbar s'$ по отношению к краю, соответствующему $E=0$. Спад поглощения в длинноволновую сторону носит экспоненциальный характер, а его убывание в коротковолновую сторону сопровождается осцилляциями функции Эйри. Приблизительное число таких осцилляций, укладывающихся на расстоянии между границами соседних подзон Ландау, определяется отно-

шением $eH/\mu c \mathcal{E}_0$. В полупроводниках с эффективной массой носителей $\mu = 0.1m_0$ в полях $H = 10^5 \text{ Э}$, $E = 2 \cdot 10^3 \text{ В/см}$ это отношение равно 5. Если сумма $s+s'$ четная, то осцилляции поглощения в окрестности каждой подзоны Ландау будут соответствовать производной функции Эйри. Среднее значение осцилляций будет примерно определяться зависимостью $\Delta_N^{1/2}$. Полная вероятность s' фотонного поглощения $W_{s'}(\omega_1)$ будет представлять собой последовательность серий с различными $s=1, 2, 3, \dots$. Серия с $s=1$, как отмечалось, имеет наибольшую вероятность. Нечетно-фотонные серии (см. рисунок) будут перемежаться четно-фотонными, описанными выше. Размер каждой серии ω_0/s' . Внутри нее размещается несколько интервалов $eH/\mu cs'$. Для $\omega_0 = 1.6 \cdot 10^{14} \text{ с}^{-1}$, $\mu = 0.1m_0$, $H = 10^5 \text{ Э}$ количество таких интервалов примерно равно 10. Каждый интервал заполняется осцилляциями функции Эйри или ее производной. Из экспериментального спектра



s' -фотонного поглощения по размеру серии можно определить частоту «опорной» волны ω_0 , а по расстоянию между наибольшими пиками в каждой серии и по их смещению полем E — приведенную эффективную массу носителей μ .

Вероятность магнитоэлектро перехода с нечетным числом фотонов $s+s'$ в области расстроек частот $\Omega \gg \Omega_R$ ($1 - E=0$, $2 - E \neq 0$). $N=0(a)$, $1(b)$, $2(c)$.

При постановке эксперимента следует учесть кулоновское взаимодействие электрона и дырки, приводящее к образованию диамагнитного экситона (ДЭ), радиус которого a_0 удовлетворяет условию $a_0 > a_H$, выполняющемуся в магнитном поле $H \geq 10^5 \text{ Э}$ для большинства алмазоподобных полупроводников. В отсутствие электрического поля ($E=0$) плотность состояний и, как следствие, коэффициент нечетно-фотонного магнитопоглощения вблизи края будут уже определяться не корневой особенностью $\sim \Delta_N^{-1/2}$, а одним или несколькими экситонными максимумами, примыкающими к краю с длинноволновой стороны [13].

Ранее рассматривалось влияние внешнего электрического поля E на экситонный спектр [14] и на спектр ДЭ [15] при различных соотношениях между этим полем и кулоновским полем ДЭ. Результаты настоящей работы допускают обобщение на случай сильного поля E ($\mathcal{E}_0 \geq R = e^2/\epsilon a_0$, ϵ — диэлектрическая проницаемость), почти полностью ионизующего экситонные состояния. В целом ряде полупроводников, например InSb, InAs, GaSb, Ge, для которых $R \approx 1 \text{ мэВ}$, такая ионизация наступает уже в относительно небольших полях $E \geq 2 \text{ кВ/см}$, использованных нами выше для оценок. Плотность состояний определяется при этом в основном электрическим полем E , а влияние экситонного взаимодействия проявляется в замене аргумента функции Эйри (см. формулу (10)) $\Delta_N \rightarrow \Delta_N \text{ex}$, где

$$\Delta_N^{1/2, \text{ex}} = \frac{3}{2j} \int_0^{z_0} \left[\frac{2\mu}{\hbar^2} (\mathcal{E}_0 \Delta_N - eEz + V_N(z)) \right]^{1/2} dz,$$

z_0 — корень подынтегральной функции [15].

Таким образом, роль потенциала ДЭ V_N заключается в возрастании поглощения на заданной частоте, причем общий вид спектра будет соответствовать кривой, изображенной на рисунке.

Остановимся коротко на противоположном случае слабого по сравнению с кулоновским электрического поля E ($\xi_0 \ll R$). В тех же полях $E \approx 1$ кВ/см в кристаллах GaP, CdTe, ZnTe с энергией связи $D\vartheta \xi_{ex} \approx 10$ мэВ основной экситонный пик приобретет в поле E длинноволновый сдвиг (квадратичный Штарк-эффект) и некоторое дополнительное уширение. Однако по мере смещения от экситонной линии поглощение вновь приобретет экспоненциальный характер эффекта Франца—Келдыша (10), видоизмененного экситонным взаимодействием в соответствии с зависимостью [15]

$$W_{s' ex}^s = W_{s'}^{(s)} \left(\frac{2R}{\xi_0 \Delta_N - \xi_{ex}} \right)^2 \exp \left[2 \left(\frac{R}{\xi_0 \Delta_N} \right)^{1/2} \ln \frac{8 \Delta_N^{5/2}}{\lambda} \right].$$

Последнее соотношение показывает, что экситонное взаимодействие, так же как и в сильном поле E , вновь приводит к росту (в десятки раз) поглощения как вследствие уменьшения мощности барьера (экспоненциальный множитель), так и вследствие резонансного эффекта (предэкспонента). В далекой длинноволновой области $\Delta_N \gg 1$ в соответствующем выражении сохраняется лишь экспонента [15]. Из ее вида следует, что медленно убывающее влияние экситонного взаимодействия продолжает сказываться и при значительном удалении от края в длинноволновую сторону.

Список литературы

- [1] Fronz W. // Zs. Naturforsch. 1958. V. 13a. P. 484—489.
- [2] Келдыш Л. В. // ЖЭТФ. 1958. Т. 34. № 3. С. 1138—1141.
- [3] Weiler M. H., Reine M., Lax B. // Phys. Rev. 1968. V. 171. P. 949—958.
- [4] Elliott P. J. // Phys. Rev. 1957. V. 108. P. 1384—1389.
- [5] Жилич А. Г., Макаров В. П. // Вестник ЛГУ. 1963. № 16. С. 22—37.
- [6] Монозон Б. С., Игнатьева Л. А. // ЖЭТФ. 1985. Т. 88. № 2. С. 593—603.
- [7] Келдыш Л. В. // ЖЭТФ. 1964. Т. 47. № 5. С. 1945—1957.
- [8] Монозон Б. С., Игнатьева Л. А. // ФТП. 1986. Т. 20. № 8. С. 1492—1495.
- [9] Монозон Б. С., Игнатьева Л. А. // ФТП. 1986. Т. 20. № 11. С. 2098—2102.
- [10] Жилич А. Г., Монозон Б. С. Магнито- и электропоглощенные света в полупроводниках. Л., 1984. 204 с.
- [11] Ландau Л. Д., Лифшиц Е. М. Квантовая механика. М., 1974. 752 с.
- [12] Жилич А. Г., Монозон Б. С. // ЖЭТФ. 1978. Т. 75. № 5. С. 1721—1728.
- [13] Сейян Р. П. Спектроскопия диамагнитных экситонов. М.: Наука, 1984. 272 с.
- [14] Меркулов И. А. // ЖЭТФ. 1974. Т. 66. № 6. С. 2314—2323.
- [15] Монозон Б. С., Жилич А. Г. // ФТП. 1977. Т. 11. № 11. С. 2190—2196.

Ленинградский кораблестроительный
институт
Ленинград

Поступило в Редакцию
27 июля 1988 г.
В окончательной редакции
20 декабря 1988 г.